

Цель работы

1. Добавить приводы для модели, созданной в предыдущей лабораторной работе. Для данного тензорного механизма (рис. 1) необходимо два привода (q_1 и q_2);
2. Изменить файл *.xml*, добавив контейнеры *actuator* и *sensor*;
3. Определить усилие управление с помощью *PID-регулятора*, используя параметры синусоидальной волны из таблицы (табл. 1). В случае выхода за пределы рабочего пространства механизма, уменьшить амплитуду и при необходимости отрегулировать смещение;
4. Запустить симуляцию работы механизма, используя физический движок *MuJoCo (Multi-Joint dynamics with Contact)*.

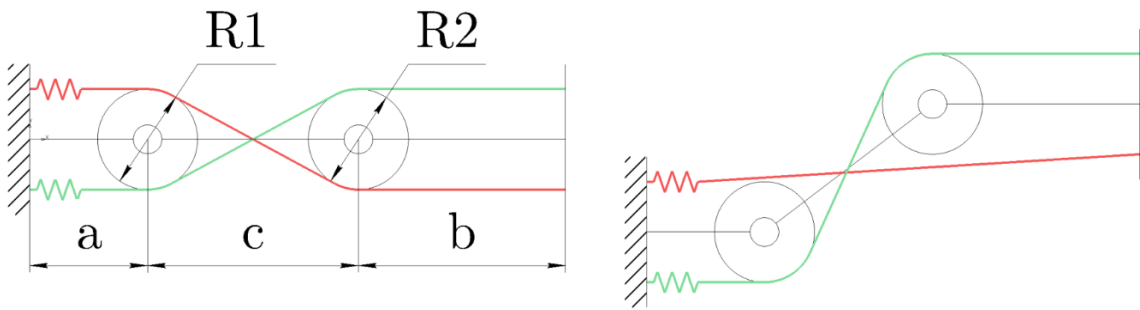


Рисунок 1. плоский механизм с сухожильным соединением, где R_1 – радиус первого шкифа, R_2 – радиус второго шкифа, a – длина первого звена, b – длина второго звена, c – смещение точки крепления сухожилия второго звена

Таблица 1 – Данные геометрических параметров

	<i>AMP</i> , deg	<i>FREQ</i> , Hz	<i>BIAS</i> , deg
q_1	34.45	3.85	42.1
q_2	11.77	1.61	-31.6

Определение усилия управления с помощью PID-регулятора

Определить усилие PID-регулятора можно по формуле:

$$q^{des} = AMP \cdot \sin(FREQ \cdot t) + BIAS \quad (1)$$

При этом для использования в математических функциях MuJoCo необходимо преобразовывать углы из градусов в радианы. Реализация представлена на рисунке 2.

```
SIMEND = 30
Timestep = 0.001
STEP_NUM = int(SIMEND / Timestep)
timeseries = np.linspace(0, SIMEND, STEP_NUM)

AMP1 = np.deg2rad(34.45)
FREQ1 = 3.85
BIAS1 = np.deg2rad(42.1)
theta1 = AMP1 * np.sin(2 * np.pi * FREQ1 * timeseries) + BIAS1

AMP2 = np.deg2rad(11.77)
FREQ2 = 1.61
BIAS2 = np.deg2rad(-31.6)
theta2 = AMP2 * np.sin(2 * np.pi * FREQ2 * timeseries) + BIAS2
```

Рисунок 2. Фрагмент кода с реализацией функции *deg2rad*

Функционал PID-регулятора для каждого привода реализован и представлен на рисунке 2.

```
10
11 def set_torque_R1(mj_data, KP, KV, desired_pos):
12     current_pos = mj_data.qpos[0]
13     current_vel = mj_data.qvel[0]
14     data.ctrl[0] = KP * (desired_pos - current_pos) + KV * (0 - current_vel)
15
16 def set_torque_R2(mj_data, KP, KV, desired_pos):
17     current_pos = mj_data.qpos[1]
18     current_vel = mj_data.qvel[1]
19     data.ctrl[1] = KP * (desired_pos - current_pos) + KV * (0 - current_vel)
20
```

Рисунок 3. Функции ПИД-регулятора для каждого привода

График теоретических углов приводов представлен на рисунке 4.

График ошибки энд-эфектора по оси X представлен на рисунке 5.

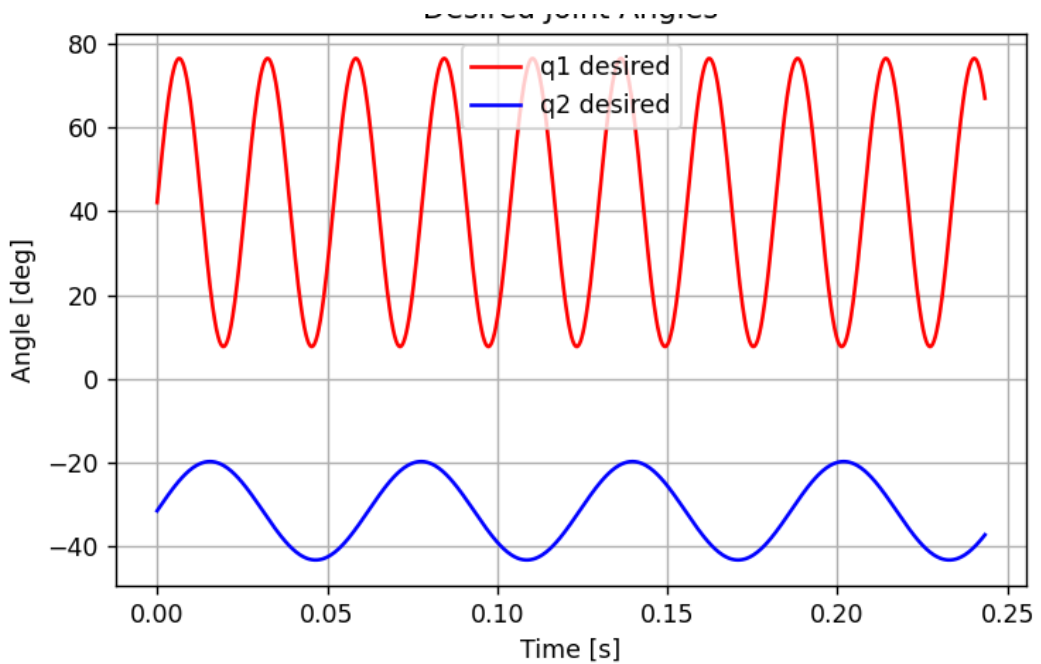


Рисунок 4. Теоретические углы приводов

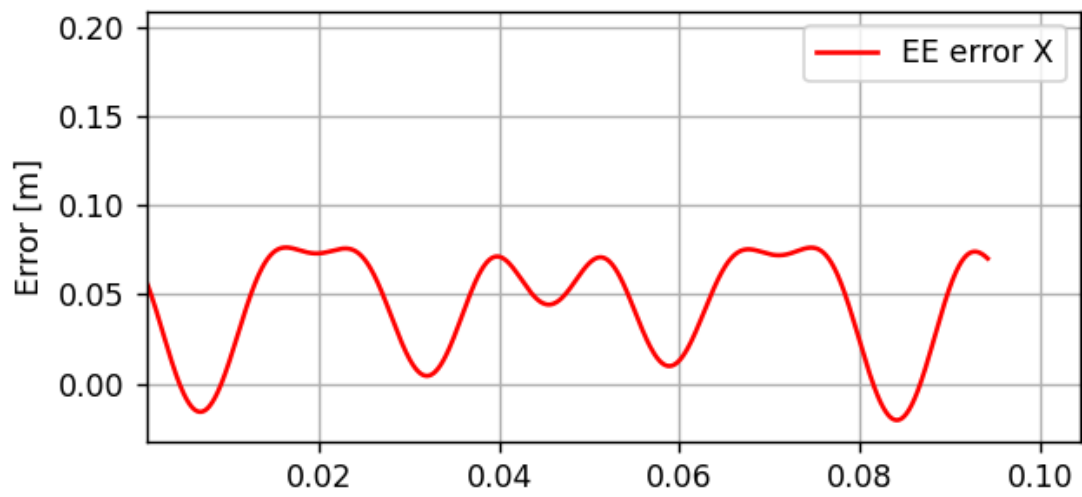


Рисунок 5. Ошибка энд-эфектора

Результаты симуляции

Механизм демонстрирует плавное движение благодаря сухожильным соединениям и синусоидальному управлению (рис. 6, 7).

Фрагменты файла XML и Python кода представлены на рисунках 8, 9 соответственно.

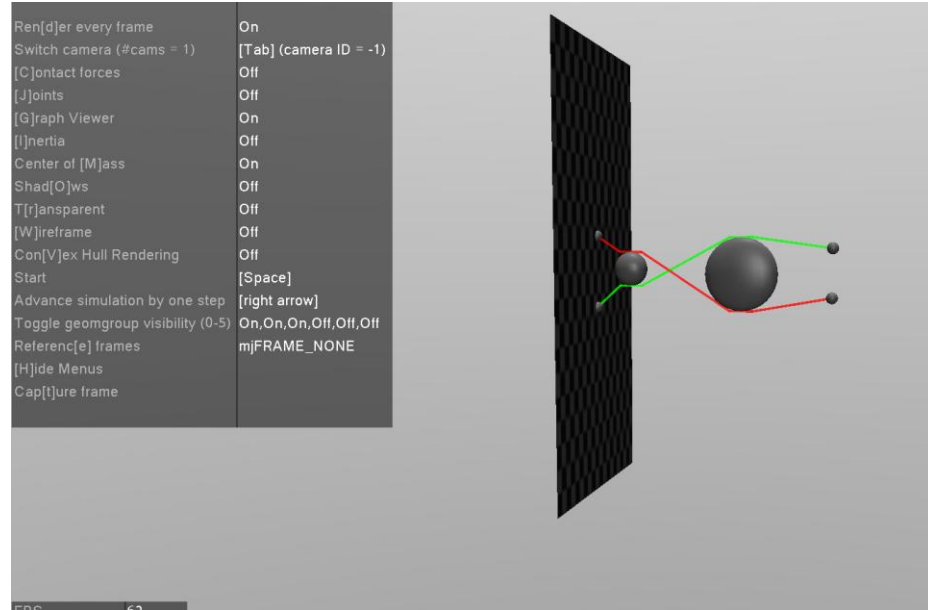


Рисунок 6. Механизм в начальном положении

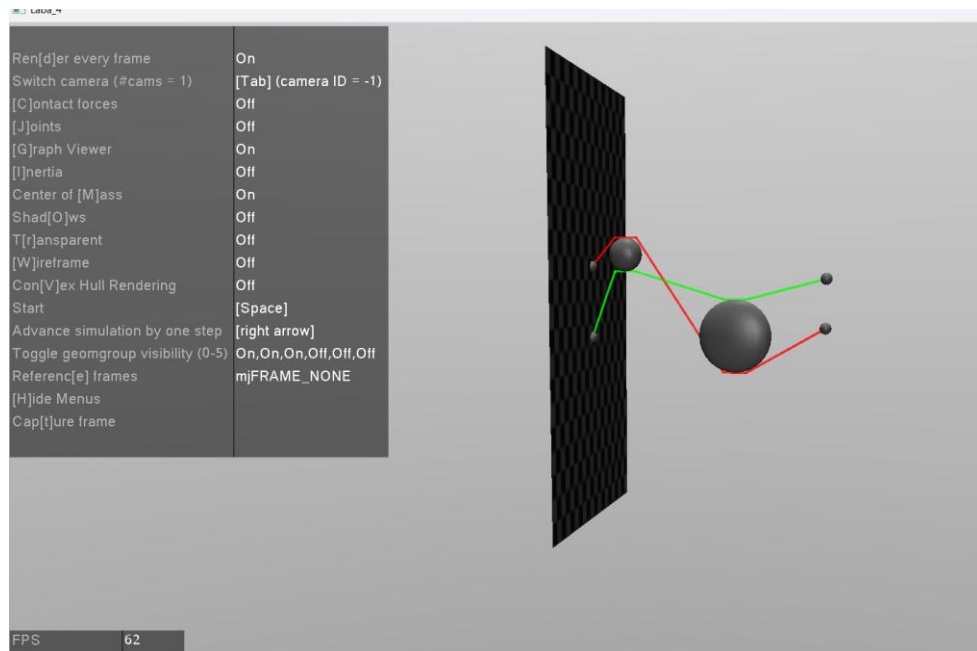


Рисунок 7. Момент работы механизма

```

0   <worldbody>
1     <body name="R1" pos="0.032 0 1">
2       <site name="corner1downleft" pos=" -0.01 0 -0.015" size="0.0001"/>
3       <site name="corner1downright" pos="0.01 0 -0.015" size="0.0001"/>
4     </body>
5
6     <body name="R2" pos="0.132 0 1">
7       <joint name="jointR2" type="slide" axis="0 0 1"/>
8       <geom type="ellipsoid" size="0.032 0.01 0.032"/>
9       <site name="R2_site" pos="0 0 0"/>
10
11       <site name="corner2up" pos="0 0 0.032" size="0.0001"/>
12       <site name="corner2upleft" pos="0.01 0 0.032" size="0.0001"/>
13       <site name="corner2upright" pos="0.01 0 0.032" size="0.0001"/>
14
15       <site name="corner2down" pos="0 0 -0.032" size="0.0001"/>
16       <site name="corner2downleft" pos=" -0.01 0 -0.032" size="0.0001"/>
17       <site name="corner2downright" pos="0.01 0 -0.032" size="0.0001"/>
18     </body>
19   </worldbody>
20
21   <tendon>
22     <spatial name="tendon1" width="0.001" springlength="0.1" damping="10" rgba="255 0 0 0.55">
23       <site site="beginning2"/>
24       <site site="corner1upleft"/>
25       <site site="corner1up"/>
26       <site site="corner1upright"/>
27       <site site="corner2downleft"/>
28       <site site="corner2down"/>
29       <site site="corner2downright"/>
30       <site site="end1"/>
31     </spatial>
32   </tendon>

```

Рисунок 8. Фрагмент XML-модели

```

0   for i in range(STEP_NUM):
1     if viewer.is_alive:
2
3       set_torque_R1(data, 100, 10, theta1[i])
4       set_torque_R2(data, 100, 10, theta2[i])
5
6       current_time = data.time
7       position_time.append(current_time)
8
9
10      position_R1 = data.site_xpos[model.site('R1_site').id]
11      R1_position_x.append(position_R1[0])
12      R1_position_z.append(position_R1[2])
13
14
15      position_R2 = data.site_xpos[model.site('R2_site').id]
16      R2_position_x.append(position_R2[0])
17      R2_position_z.append(position_R2[2])
18
19      theta1_trajectory.append(theta1[i])
20      theta2_trajectory.append(theta2[i])
21
22
23      mujoco.mj_step(model, data)
24      viewer.render()
25    else:
26      break
27
28  viewer.close()

```

Рисунок 9. Фрагмент кода на языке Python

Вывод

В ходе выполнения лабораторной работы была модифицирована XML-модель механизма с сухожильными соединениями, реализованы два привода q_1 и q_2 , также был использован PID-регулятор для управления механизмом. Визуализирована работа механизма посредством MuJoCo.